





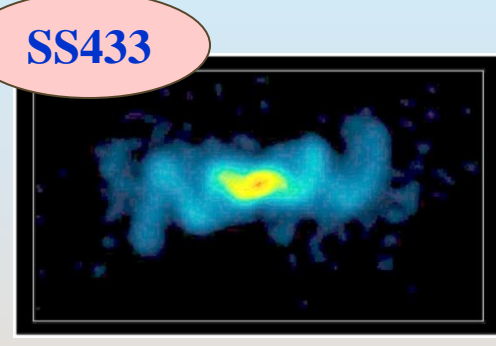


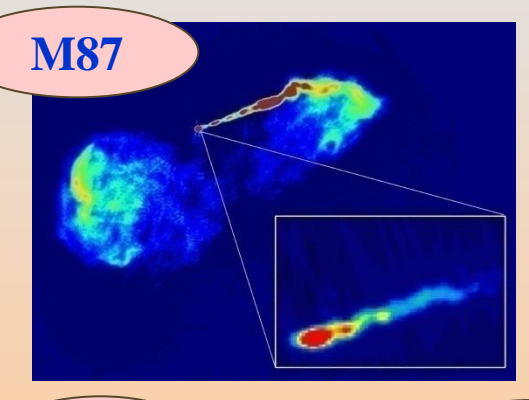
宇宙ジェット (astrophysical jets)

中心の天体から双方向に吹き 出す細く絞られたプラズマの 流れ

- (YSO)
- (CVs, SSXSs)
- Crab pulsar
- SS 433
- microquasar
- AGN
- quasar
- gamma-ray burst



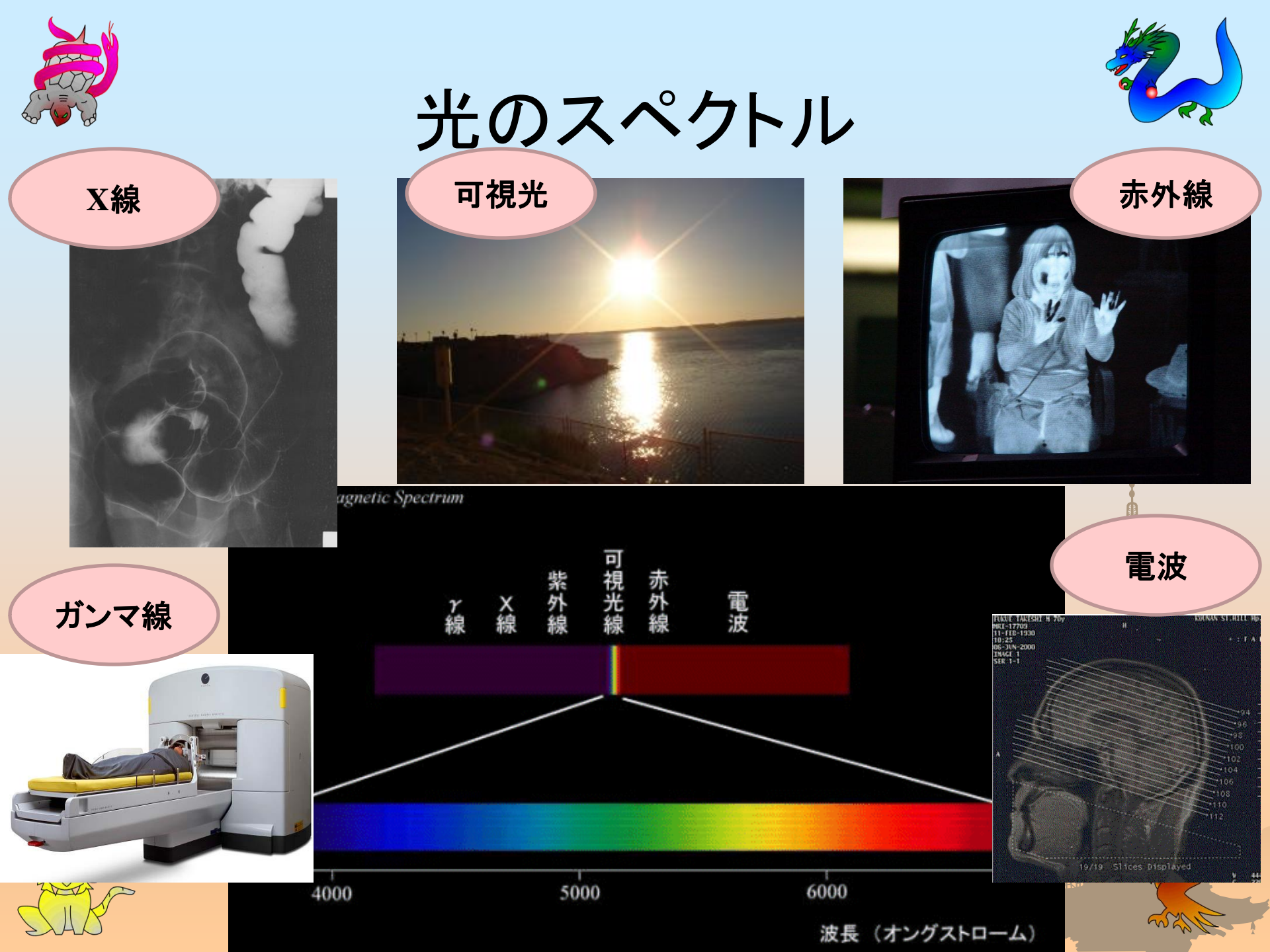












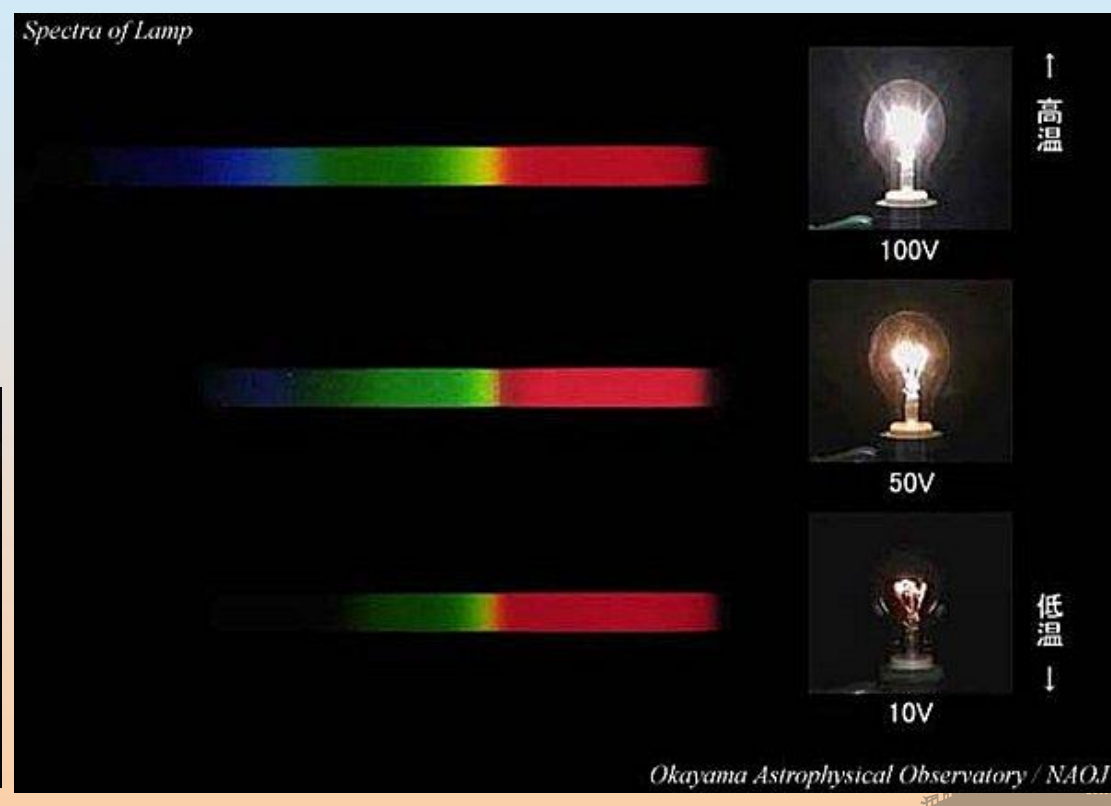


光のスペクトル連続スペクトル



- 白熱電球
- * ホタル





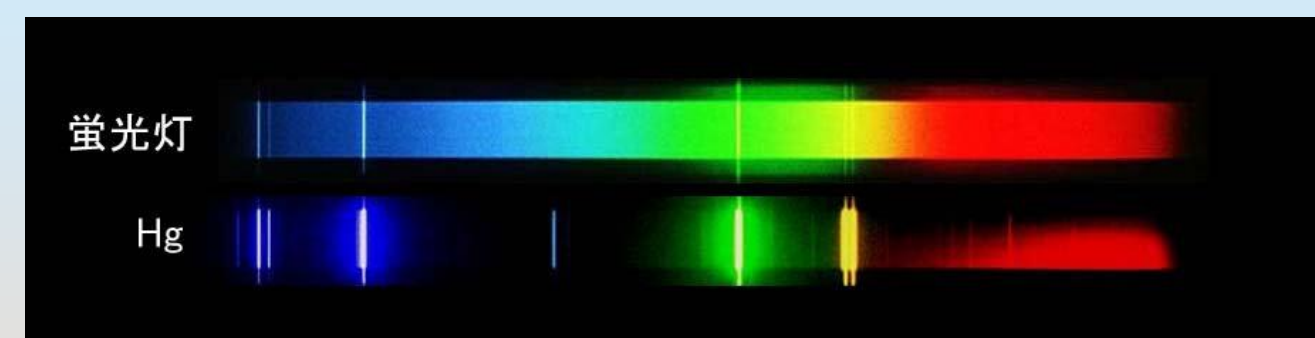


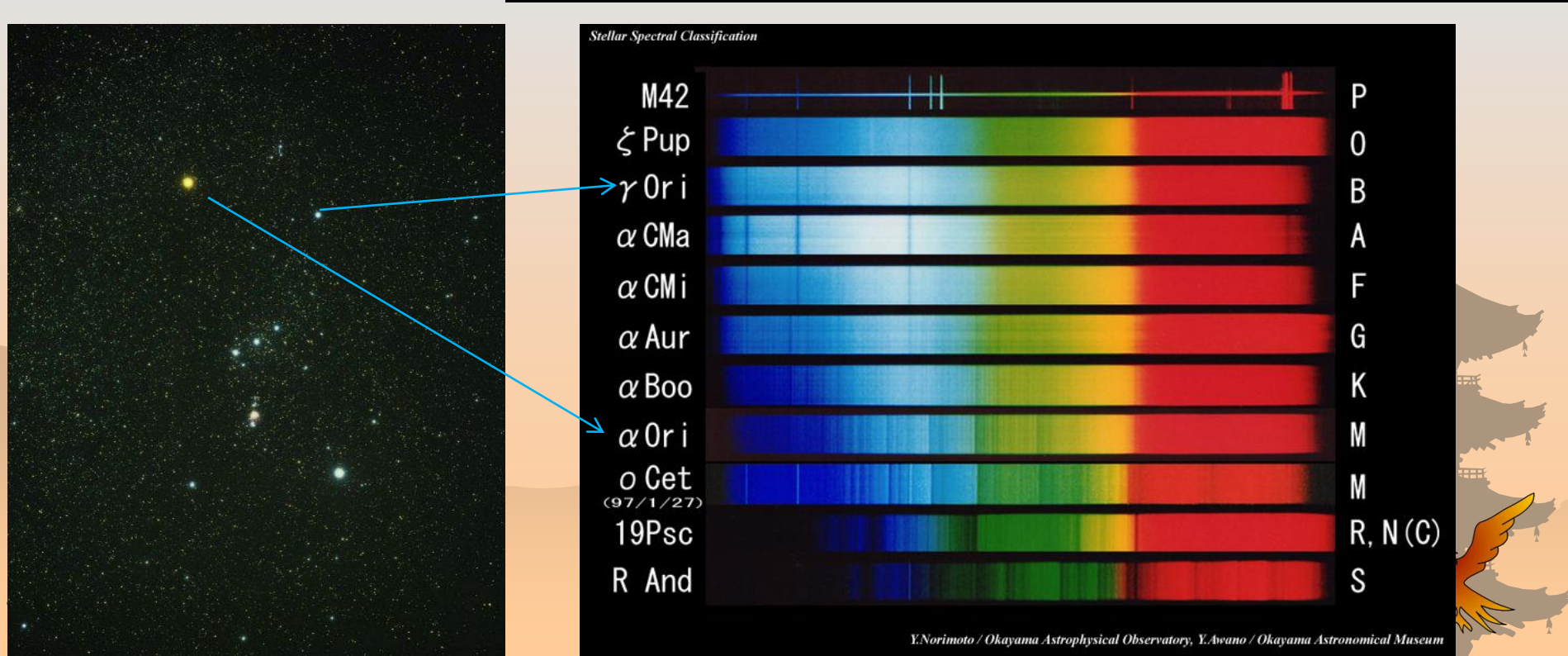


光のスペクトル 線スペクトル



- ♥ 蛍光灯
- ●星







光のスペクトル 水素バルマー線

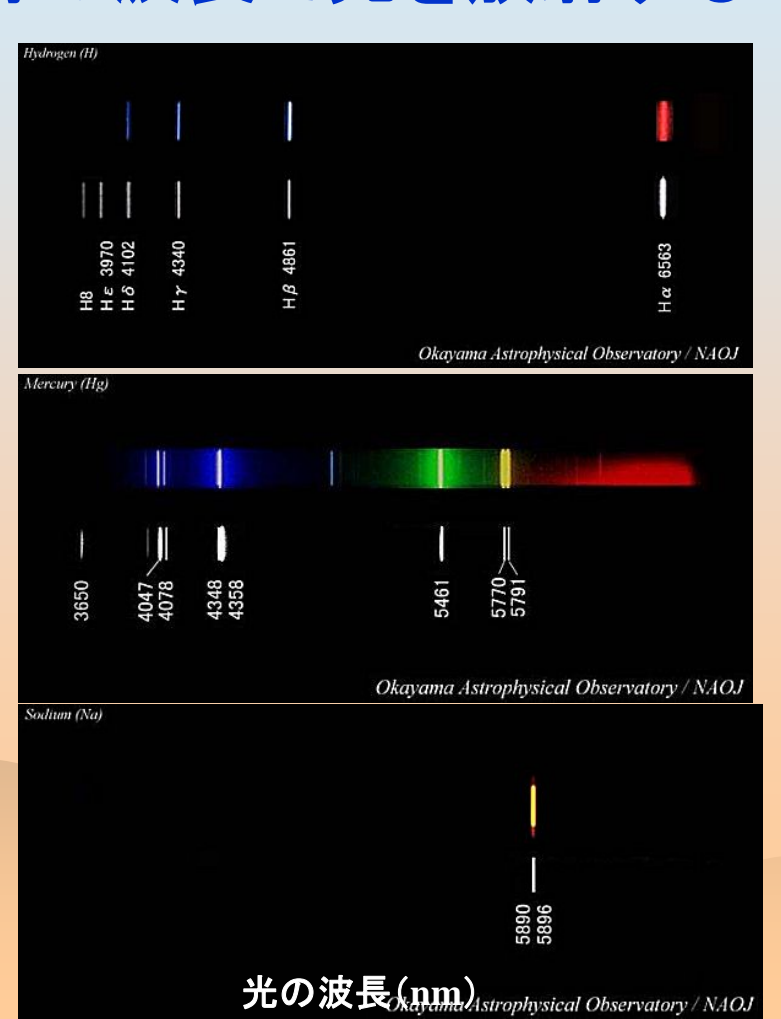


原子は固有の波長で光を放射する

水素

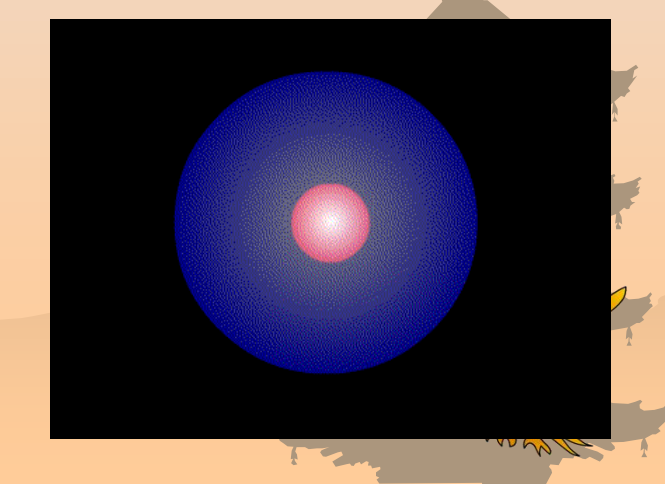
水銀

ナトリウム





水素ガスが赤い光を 出しているバラ星雲

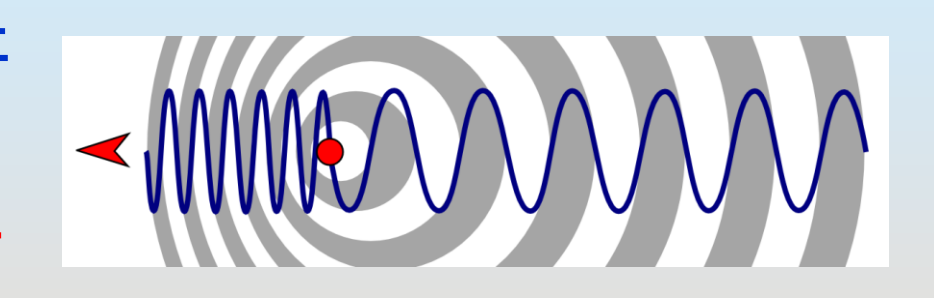


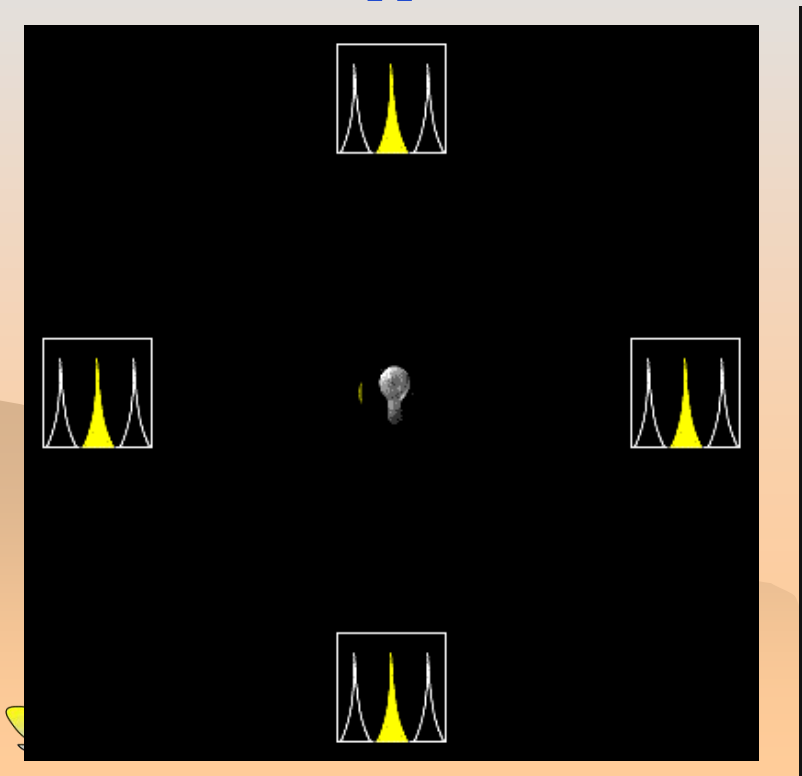


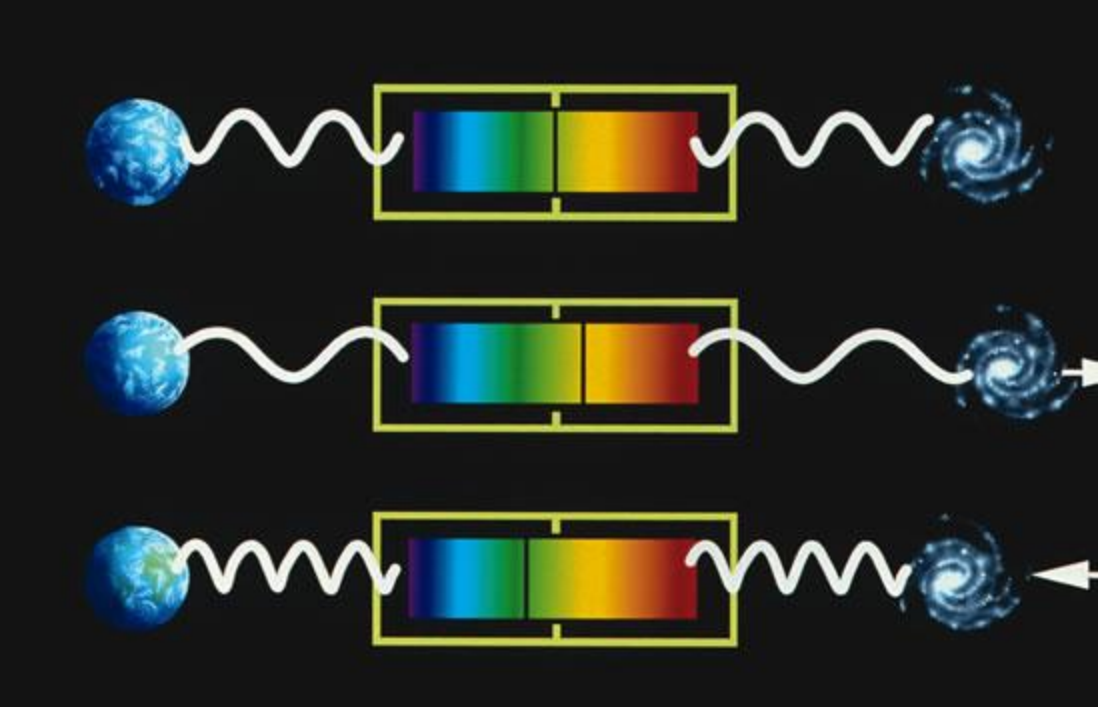
光のスペクトルドップラー効果



* 光源と観測者の間の相対運動によって、観測される光の波長(振動数)が実験室で測定されるものとずれる現象を光のドップラー効果(Doppler effect)と呼ぶ。







Maarten Schmidt (1929-) in 1992

Donald Lynden-Bell (1935-)

宇宙ジェットの発見



観測

- 1918年 "星雲"M87の光 の矢(Curtis)
- 1963年 クェーサー 3C273の同定(Schmidt)
- 1978年 特異星SS433の 発見(Margon)
- 1994年頃 マイクロクェー サーの類別(Mirabel)
- 1997年 ガンマ線バーストの同定(BeppoSAX)



最初に宇宙ジェット が発見された巨大 楕円銀河/電波銀 河M87



最初に同定された クェーサー3C273 (NOAO/AURA/NSF)

理論

- 1969年 超巨大ブラックホール の提唱(Lynden-Bell)
- 1973年 標準降着円盤モデル (Shakura and Sunyaev)
- 1986年 ファイアボールモデル (Paczynski)



スニアエフ@すざく国際会議(2006年12月)







活動銀河ジェット



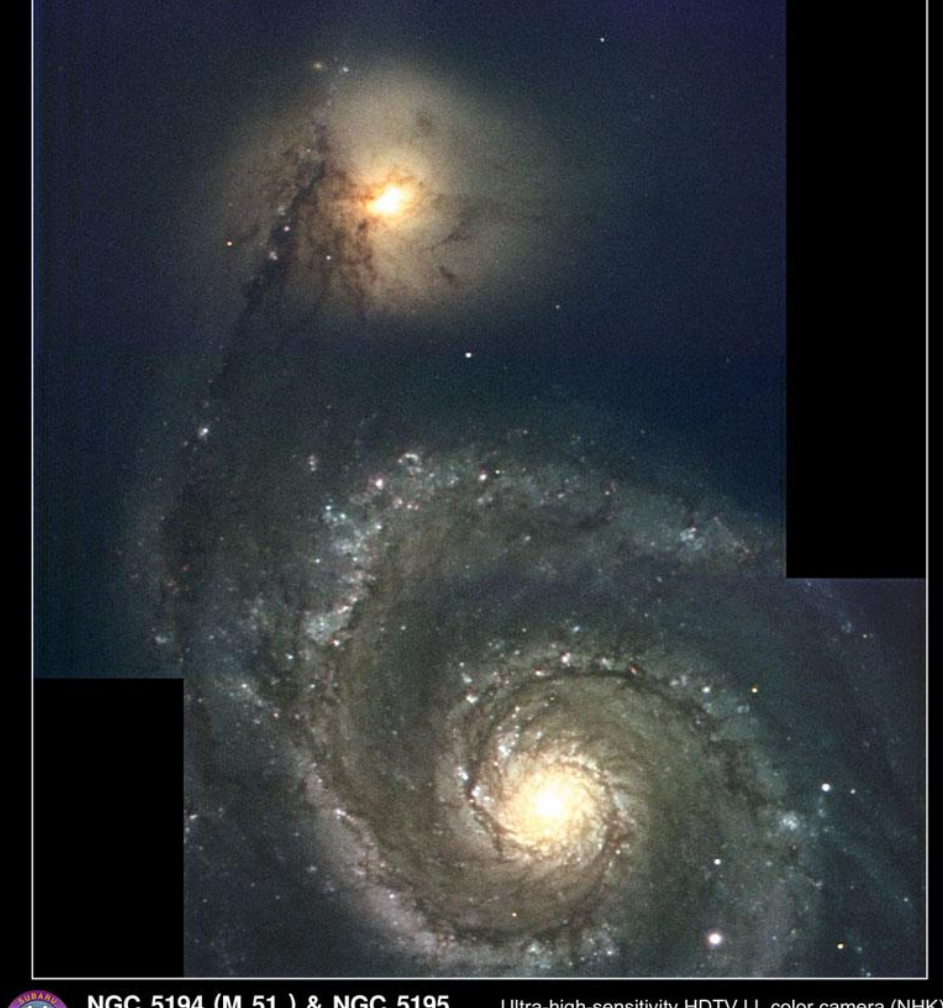
銀河



銀河(galaxies)

銀河=数千億個の星とガスの巨大な集合 体;円盤状の渦状銀河や球状の楕円銀河などがある

子持ち銀河M51→





NGC 5194 (M 51) & NGC 5195 [Whirlpool Galaxy]

Ultra-high-sensitivity HDTV I.I. color camera (NHK) Exp. 10 sec. (10 frames coadded) January 16, 1999







活動銀河核(active galactic nuclei) 中心核が何らかの活動性を示す銀河

電波銀河M87(可視光)









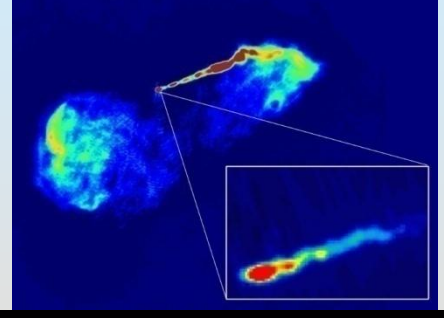


活動銀河



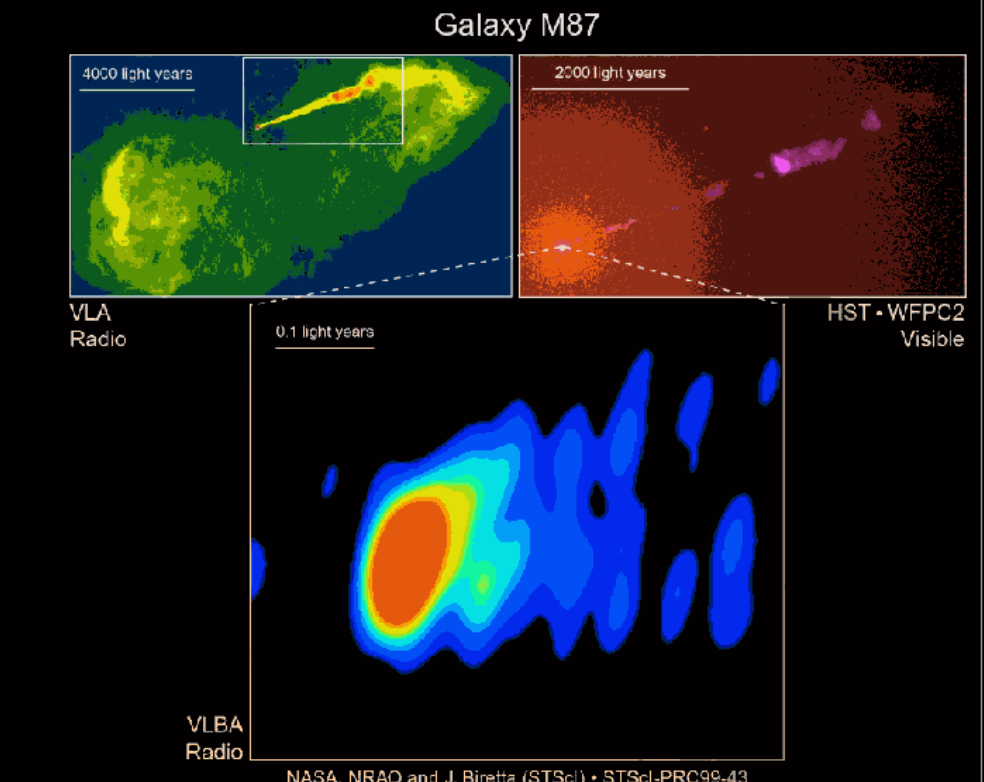


活動銀河核(active galactic nuclei) 中心核が何らかの活動性を示す銀河



電波銀河M87











電波銀河Cen A

さまざまな波長で見た活動銀河ケン タウルス座A/NGC5128(http:// physics.gmu.edu/~rms/astro113/ myimages/cenacomp.jpg)。

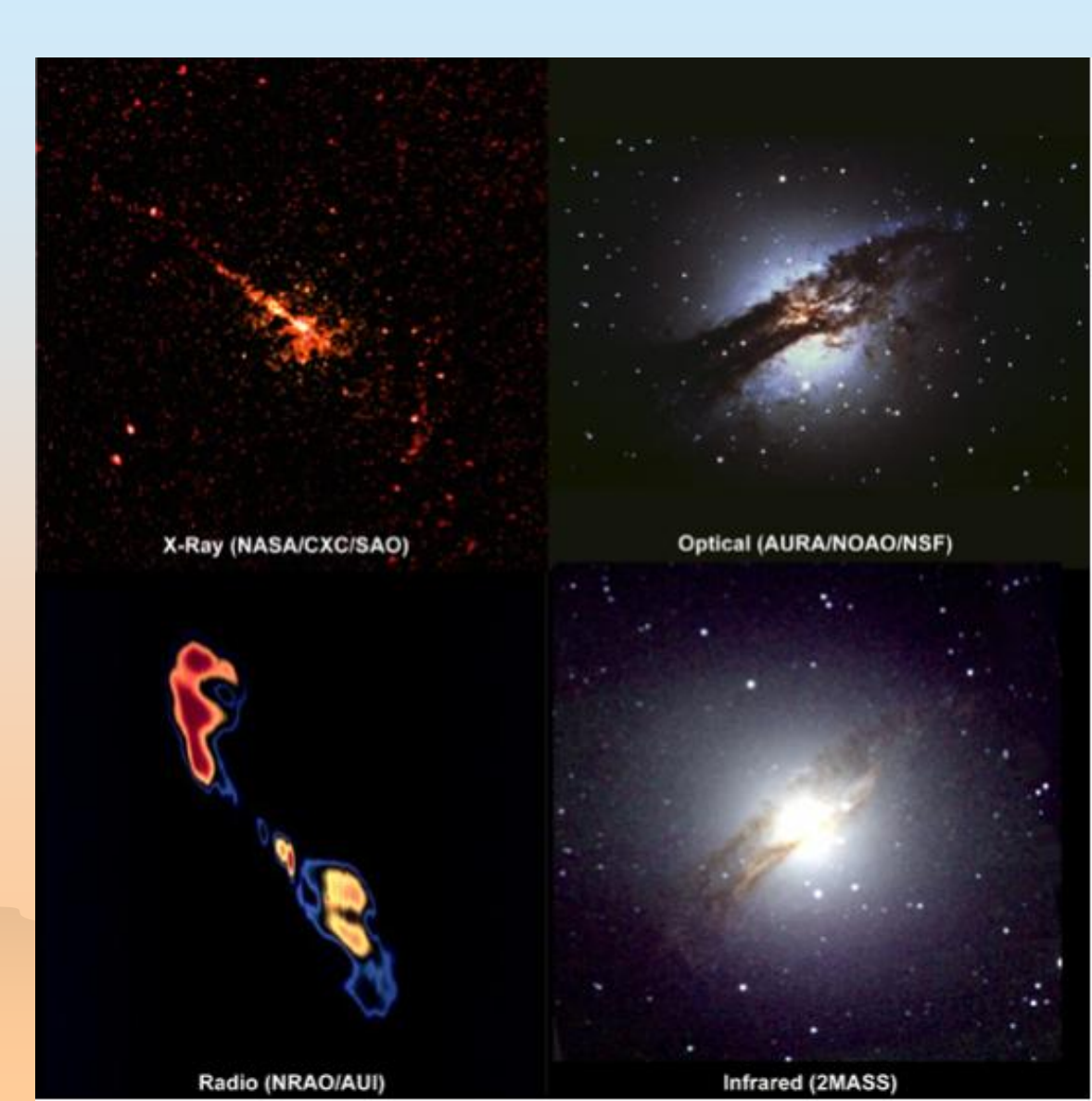
右上:可視光では、赤道面が塵の 多いガスで隠された楕円銀河のよう にみえる。

右下: 赤外線では、塵の帯を通して中心部が非常に明るく輝いているのがわかる。

左下:電波では、塵の帯に垂直方向に拡がる二つ目玉がわかる。

左上:X線では、二つ目玉の方向に細く伸びるジェットが写っている。







クェーサー



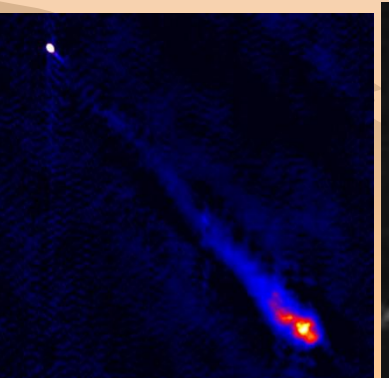
クェーサー(quasar)非常に遠方の活動銀河核

クェーサー 3C273 多波長で観測したクェーサー3C273のジェット (NASA/STScI/JAXA)。上から、

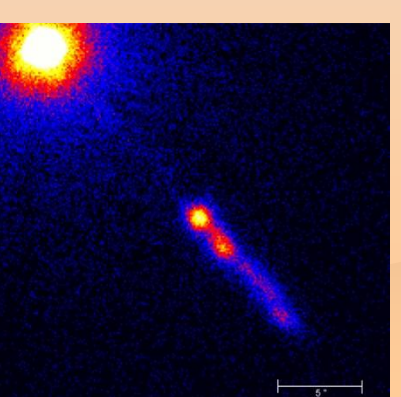
> X線(チャンドラ衛星) 可視光(ハッブル宇宙望遠鏡) 電波(マーリン干渉計) 電波(宇宙電波干渉計はるか)

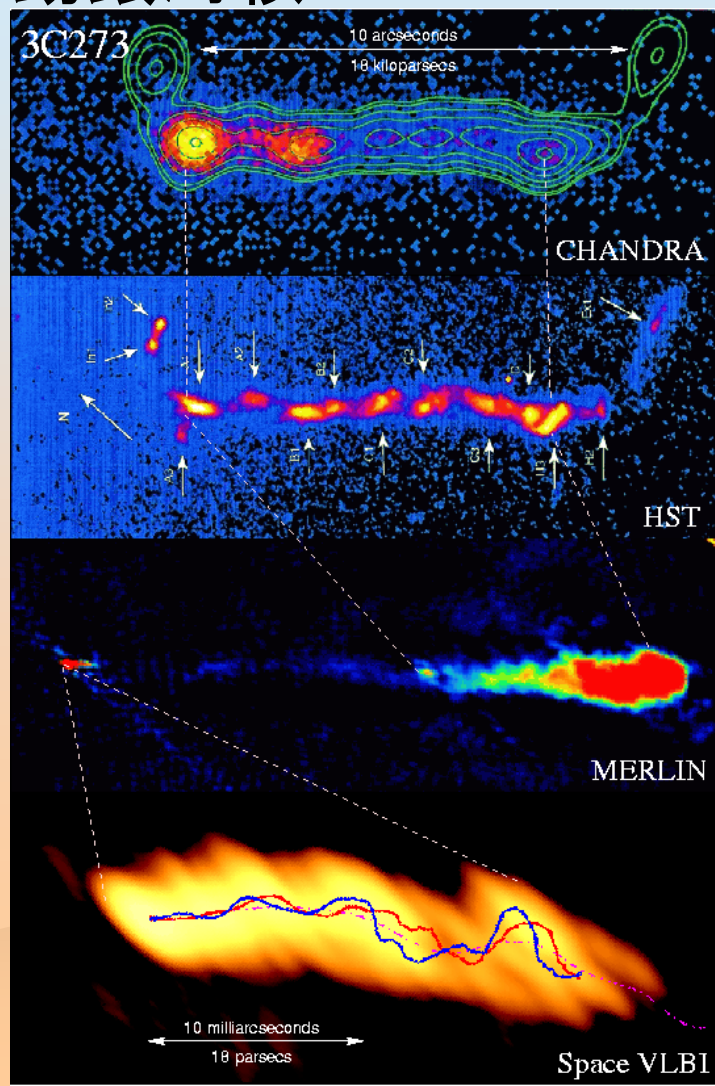
1番目のチャンドラの画像と2番目のハッブルの画像にはジェットの先端半分程度のほぼ同じ部分が写っている。3番目のマーリンの画像にはだいたいジェットの全体が写っていて、左端の3C273中心核から右方向へジェットが伸びている。一番下のはるか衛星の画像には中心核部分を拡大したものが写っており、数十光年ぐらいの領域がみえている。

電波·光·X線











銀河系内の宇宙ジェット







SS433: Stephenson-Sanduleakカタログ433番

14等星

奇妙なスペクトル (Margon et al. 1984)





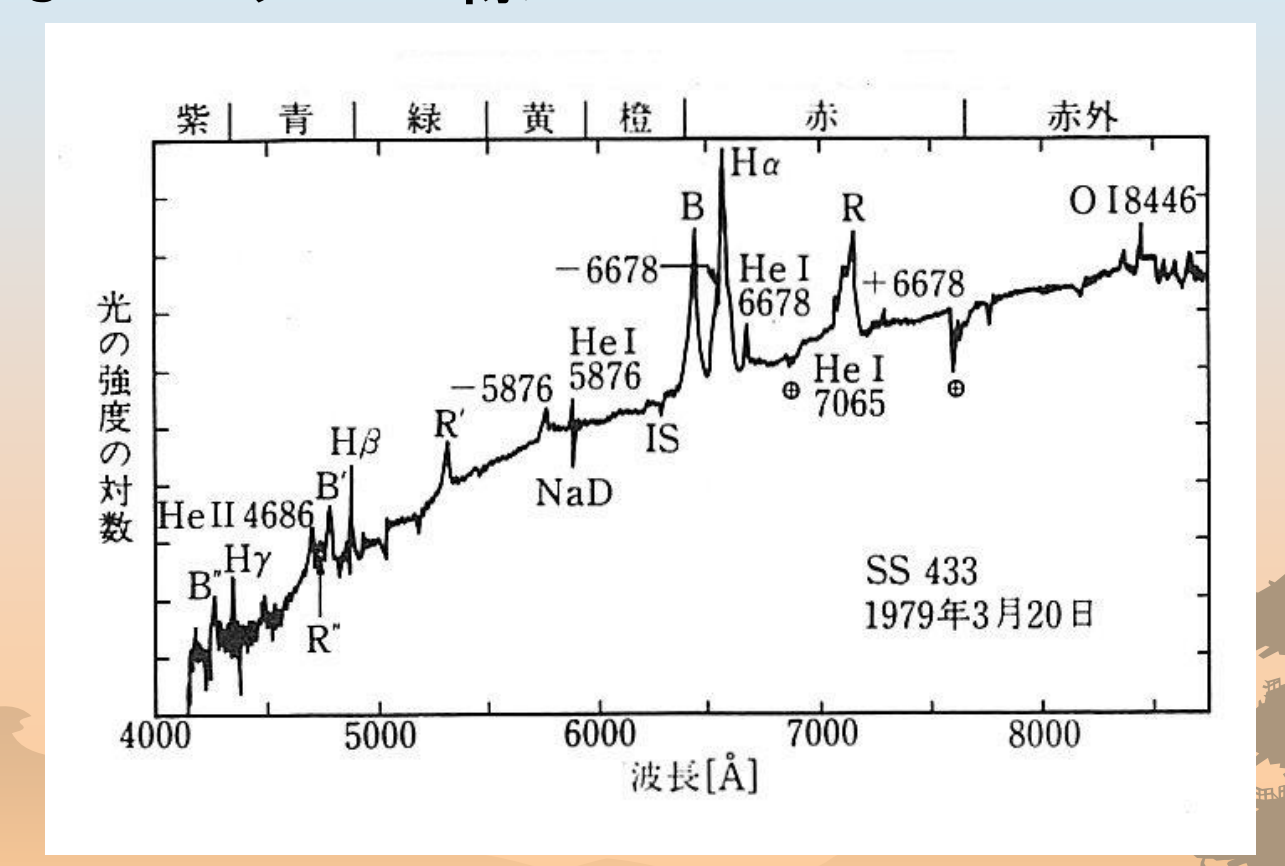




特異星SS433 スペクトル



● 奇妙なスペクトル線



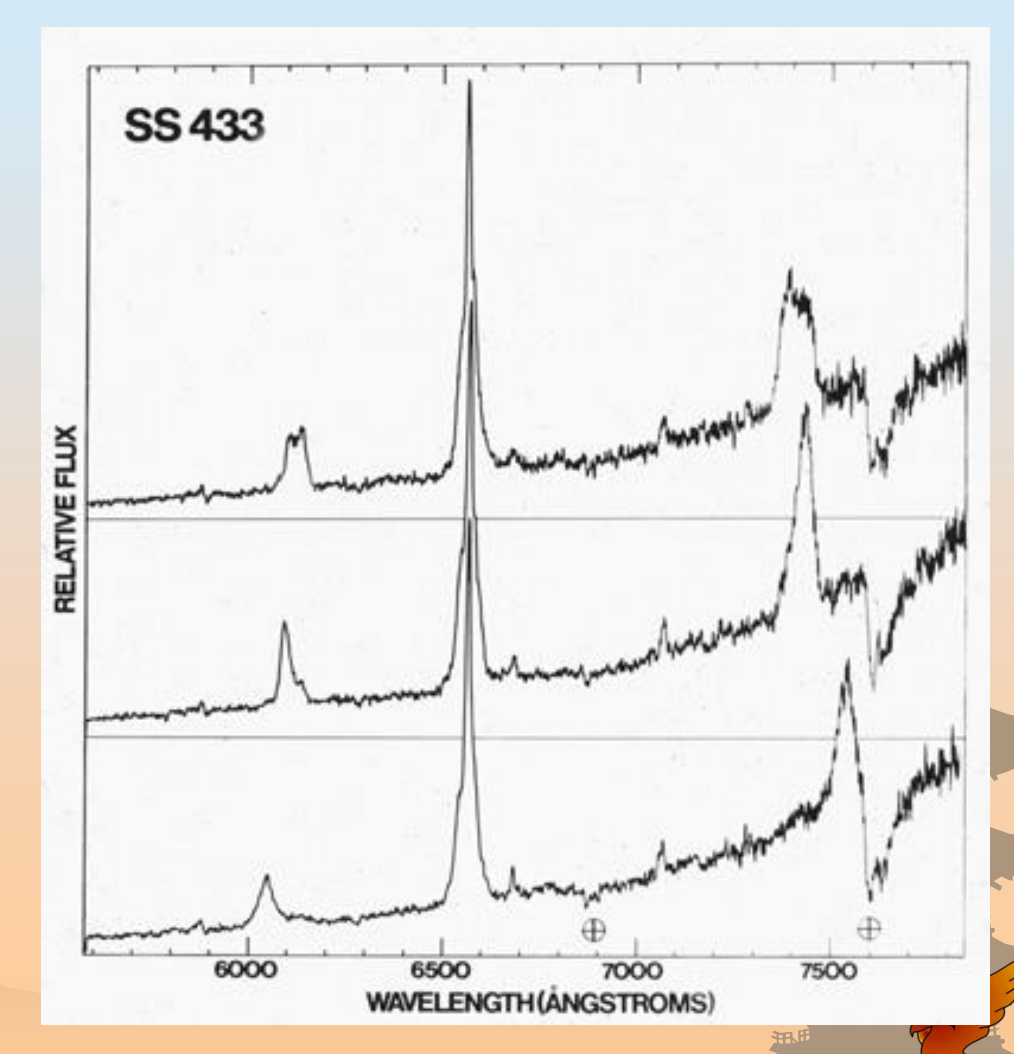




特異星SS433 スペクトル



● 動くスペクトル線



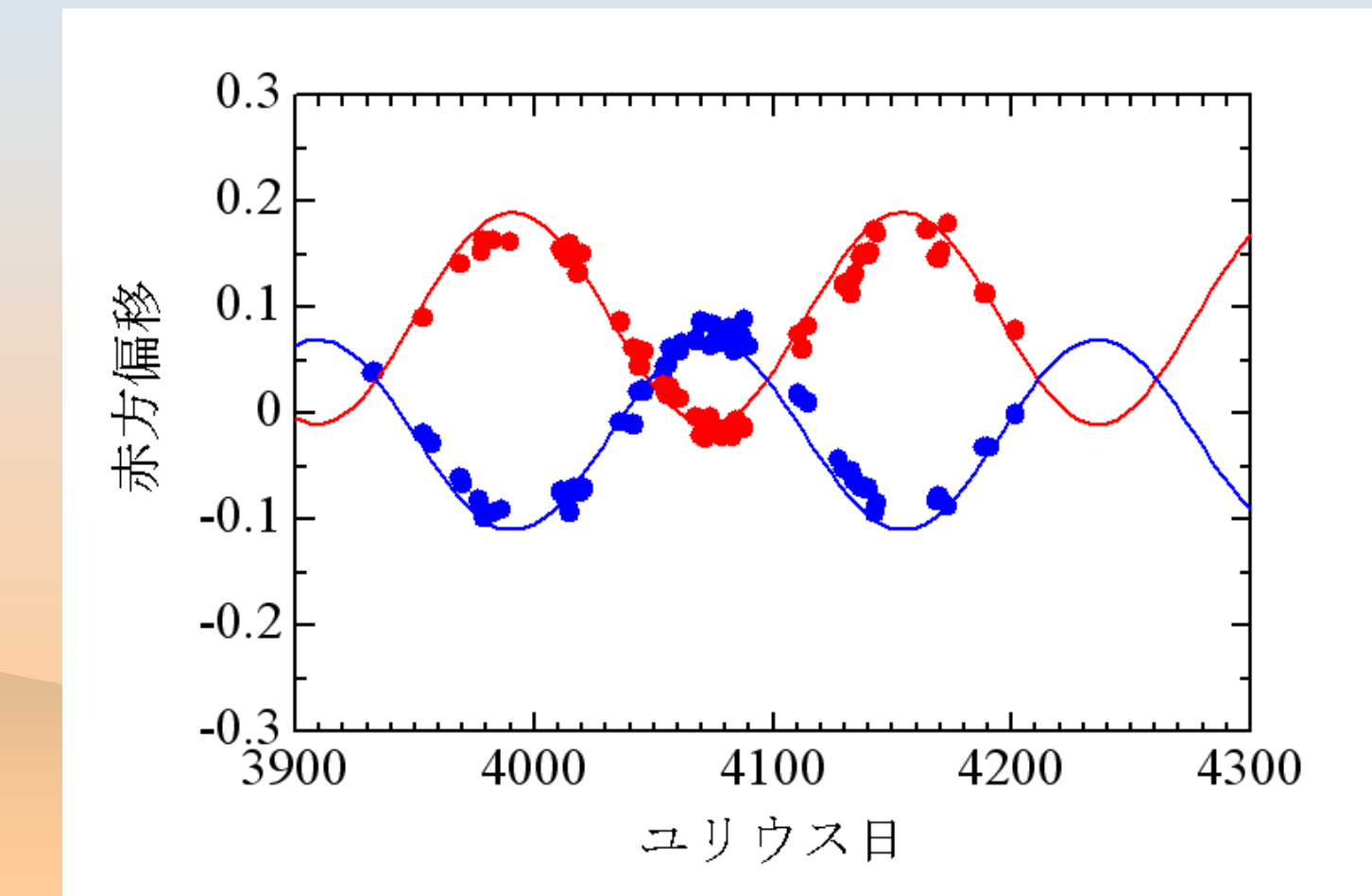




特異星SS433 スペクトル



- 輝線の位置が周期的に変化する
- 162日



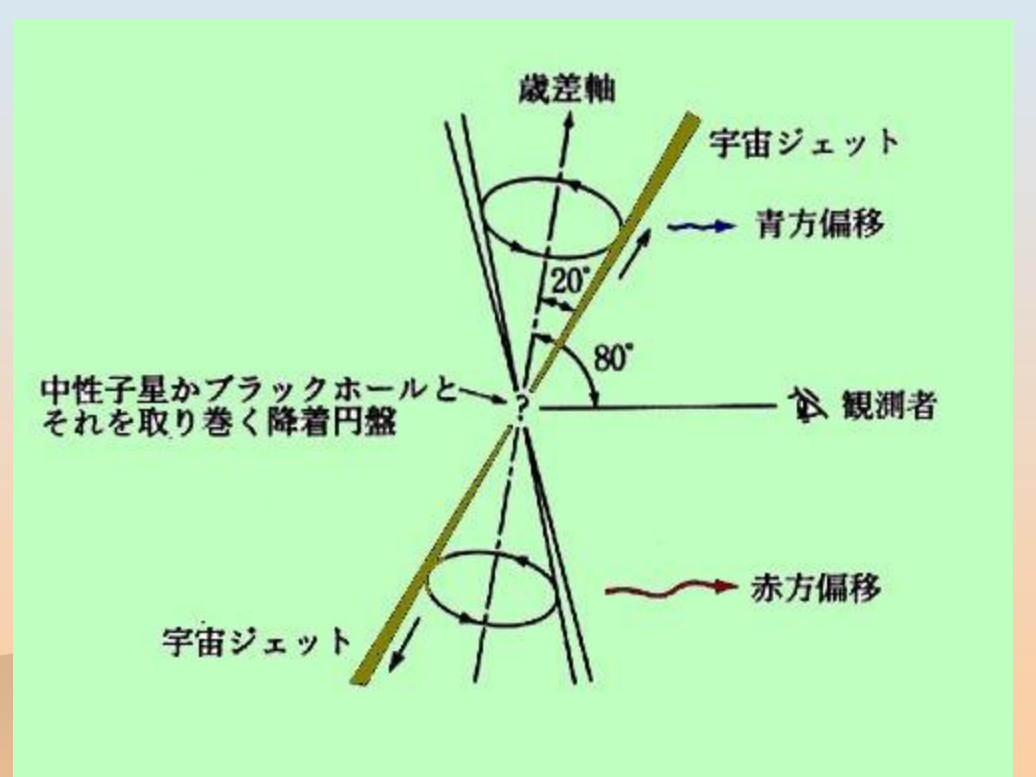


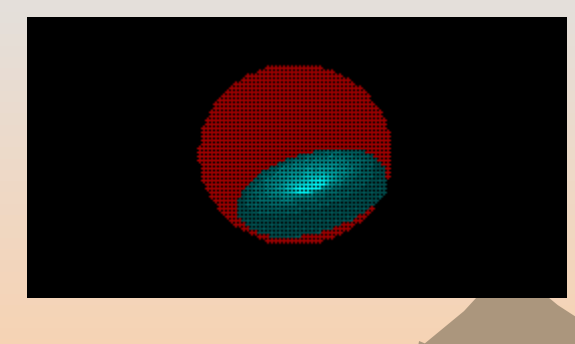


特異星SS433 モデル



● 2本のジェットが振れ動く











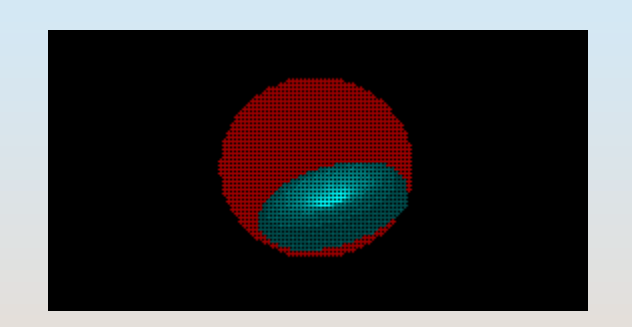
特異星SS433 光度曲線



● 光度曲線

- 13日周期:連星周期

- 162日周期: 歳差周期



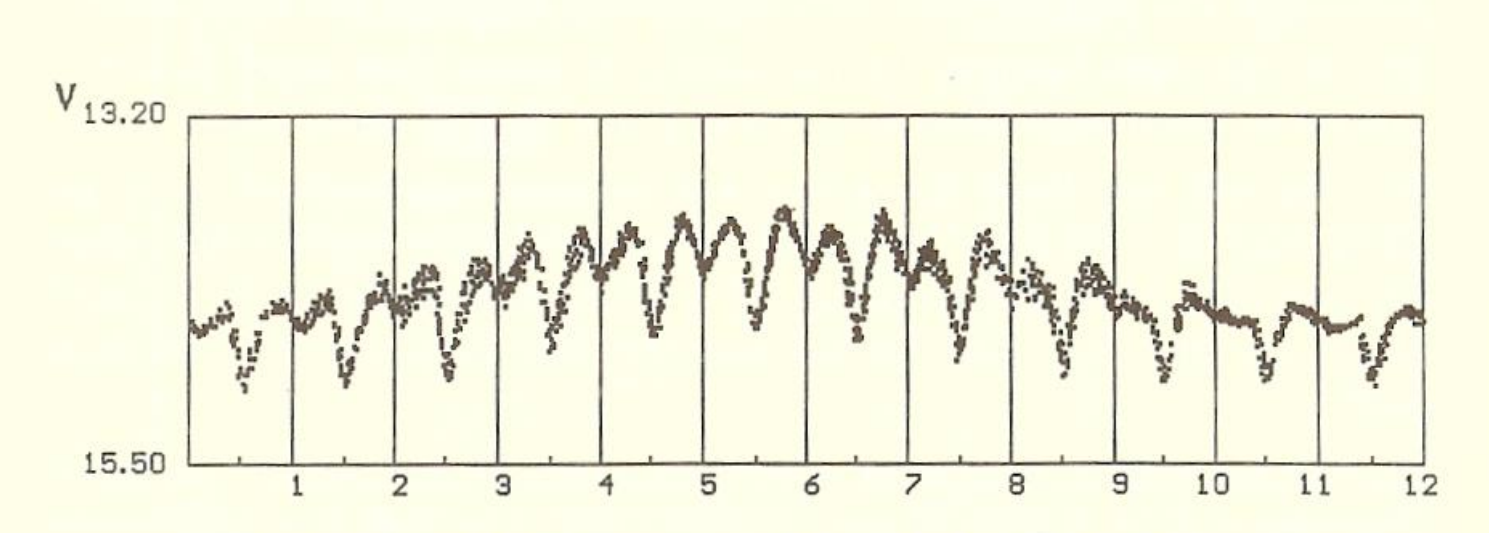


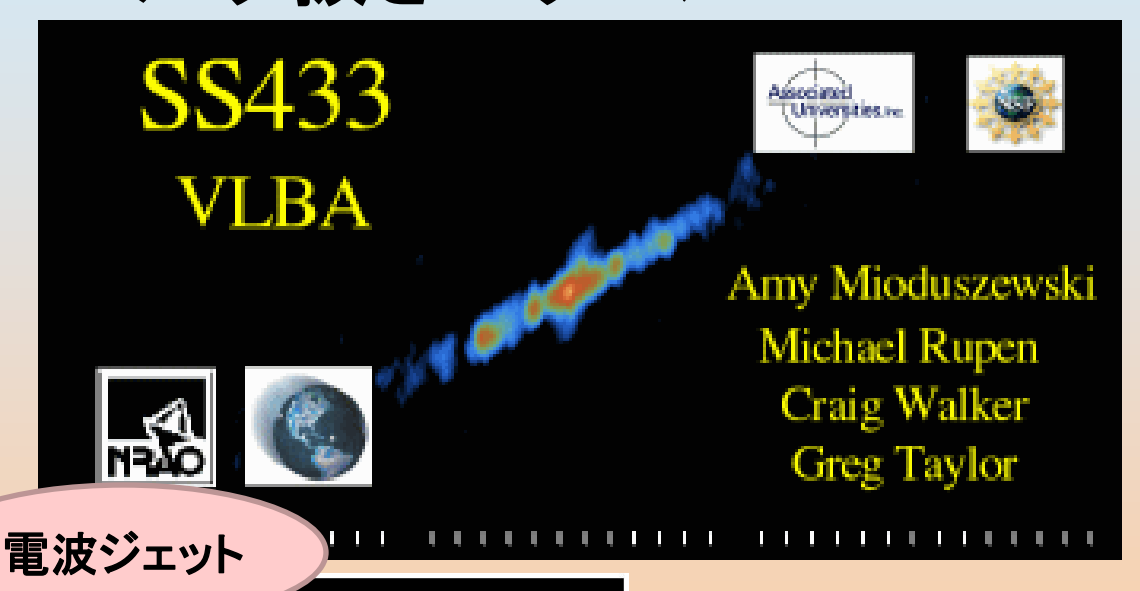
Fig. 1.27 Folded light curves of SS 433 obtained by 19-year optical monitoring. (After Goranskij et al. 1998)

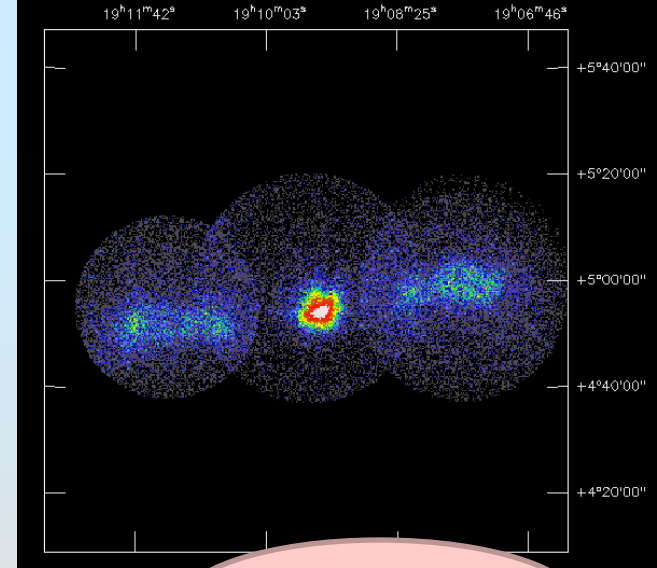




特異星SS433 ジェット

⇒ コルク抜きパターン





X線ジェット

X線衛星ぎんがの撮像した特異 星SS433のジェット(http://wwwcr.scphys.kyoto-u.ac.jp/)。光速 の26%もの速度で星間空間に 突入したジェットガスと、星間物 質との間の摩擦によって、ガス が高温になりX線を放射してい ると想像されている。

電波で観測したSS433ジェットのコルク抜きパターン (http://www.nrao.edu/pr/2004/ss433corkscrew)。 SS433ジェットは、ある固定軸(歳差軸)のまわりを約 20°の頂角をもつ円錐面内で周期163日で、傾いた 独楽の軸が振れるような歳差運動をしている。



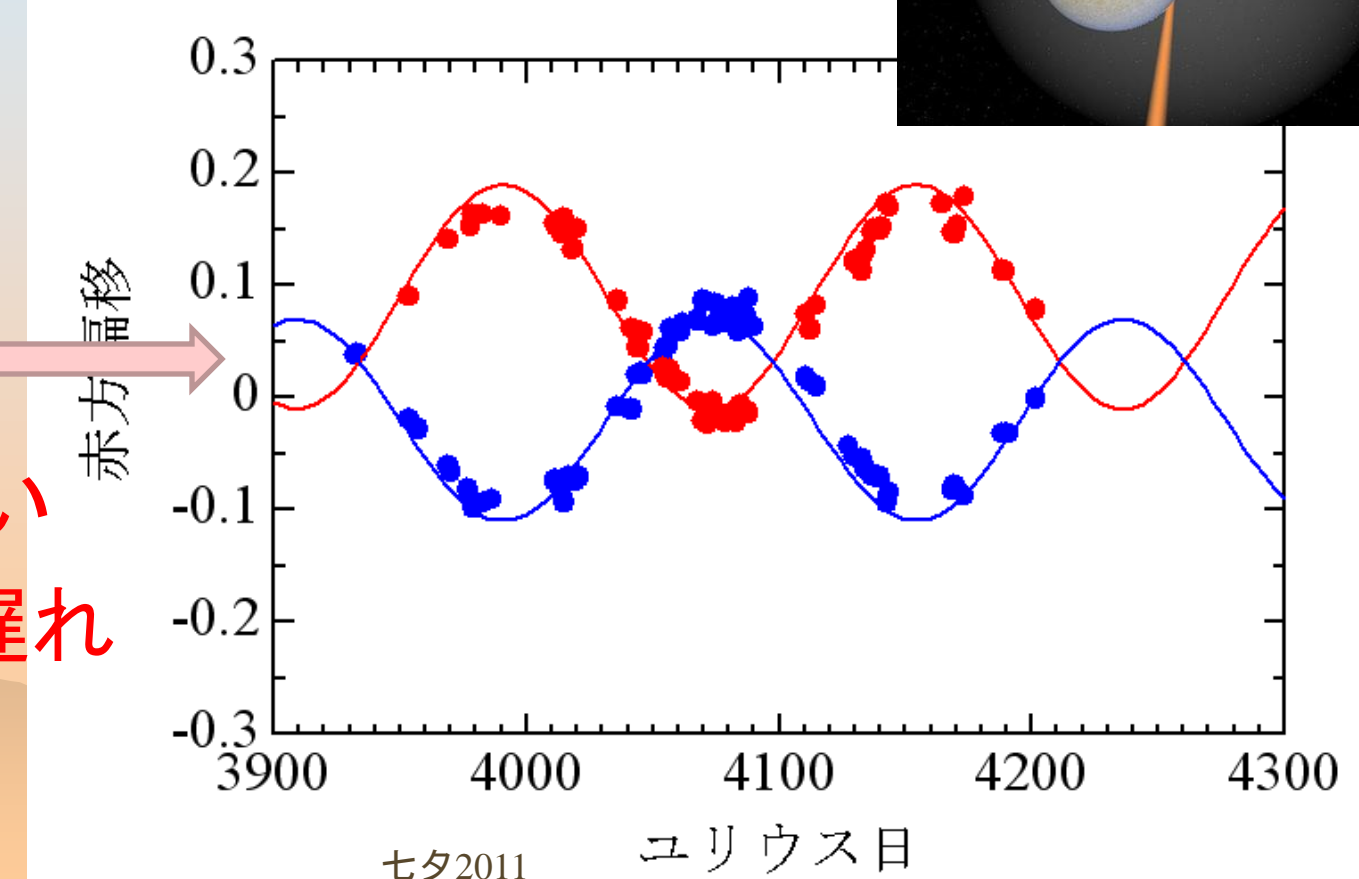


特異星SS433 輝線スペクトル



● 輝線の位置が周期的に変化する







●時間の遅れ





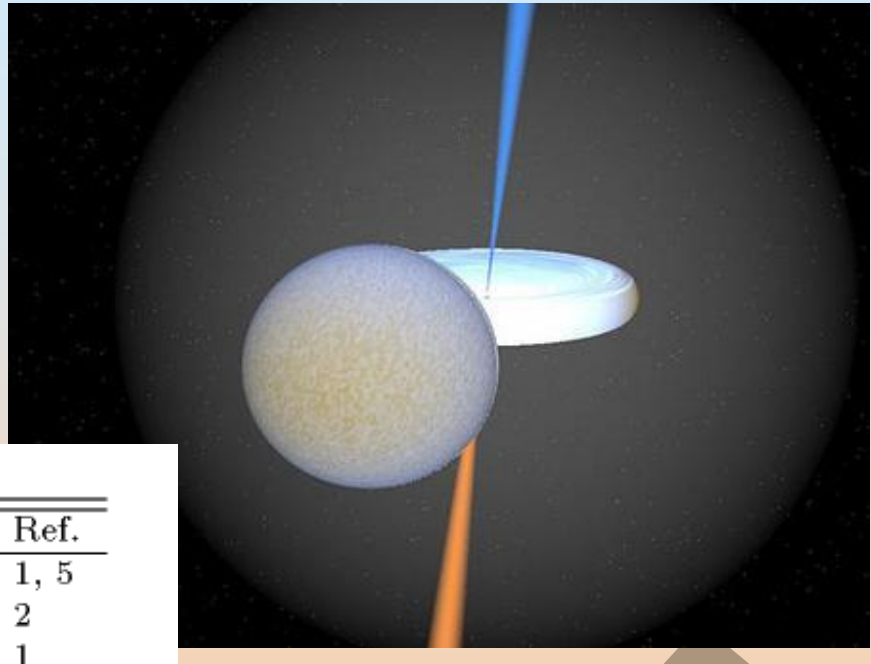
特異星SS433 まとめ



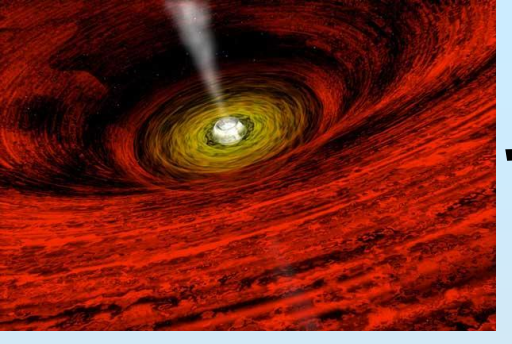
恒星 + ブラックホール 亜光速ジェットをもつ ジェットの速度は光速の 26%!

Table 1.5 Elements of SS 433.⁵

Elements	Values	Ref.
Optical counterpart	$V \sim 14/A5 - A7I$	1, 5
Distance d	$5.0 \pm 0.5 \; \mathrm{kpc}$	2
Binary period P	13.082 d	1
Binary ephemeris T_0 (2 440 000+)	$6596.25 \; \mathrm{d}$	3
Semi-amplitude K_2	$112 \pm 5 \; { m km \; s^{-1}}$	4
	$132 \pm 9 \; { m km \; s^{-1}}$	5
Mass function $f(M)$	$2.0 \pm 0.3 M_{\odot}$	4
	$3.0 \pm 0.6 M_{\odot}$	5
Inclination angle i	7898	1
Precession period	$162.5 \mathrm{d}$	1
Precession ephemeris (2 440 000+)	4483 d	3
Precession angle ψ	19.8	1







マイクロクェーサー

マイクロクェーサー(microquasar)

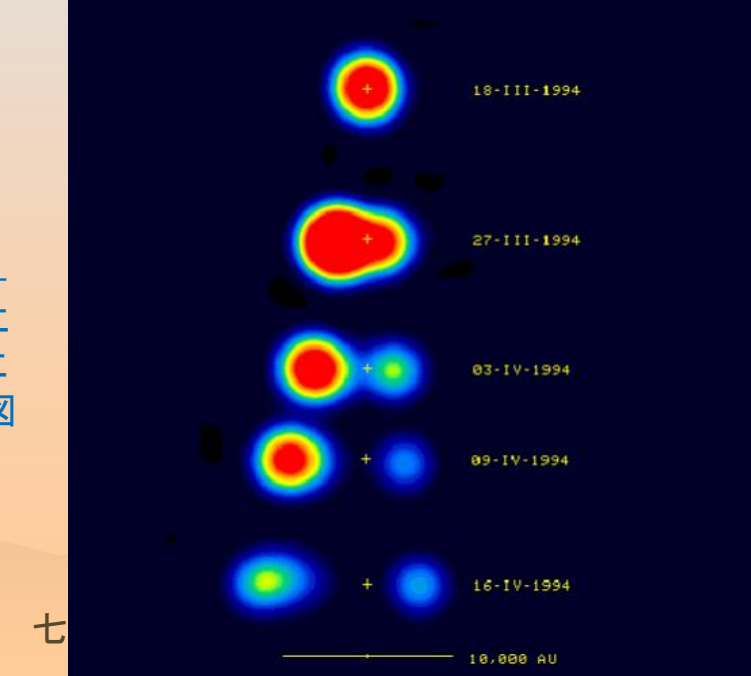
亜光速ジェットをもった系内ブラックホール連星

GRS1915+105

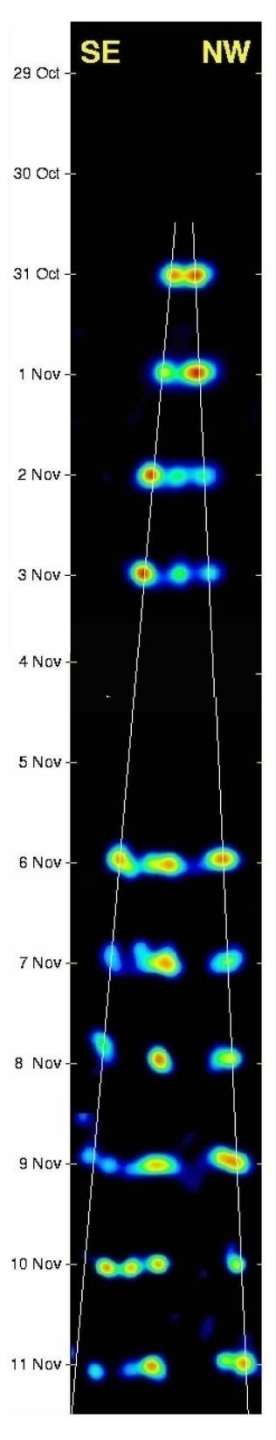
速度は光速の92%!!

電波で撮像したマイクロクェー サーGRS 1915+105

(http://universe-review.ca/ I08-17-microquasar.gif)。異なった時期に得られた5つの画像が上から下に並べてある。中心の電波源から図の左右に電波輝点が移動しているのがわかる。



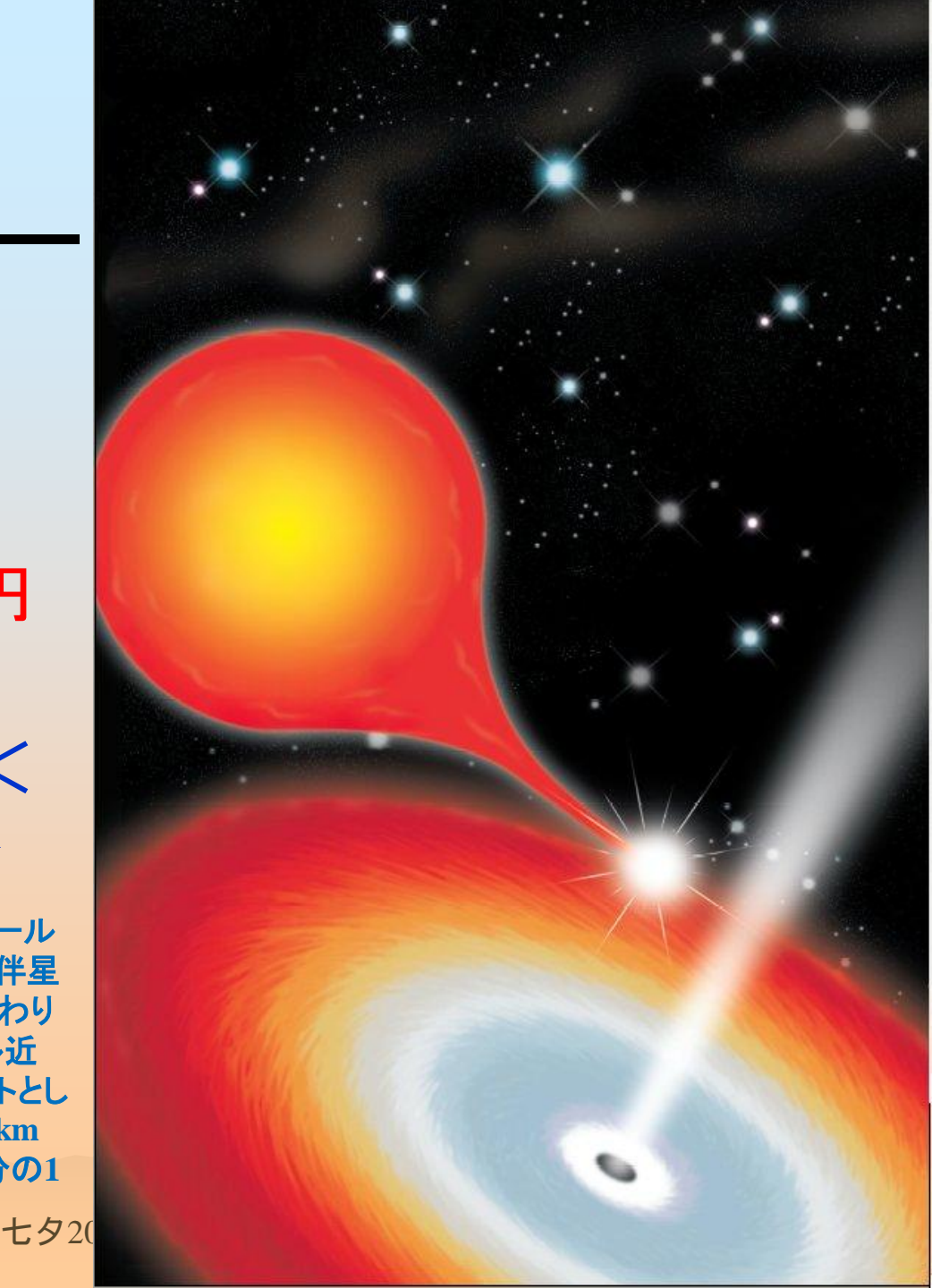


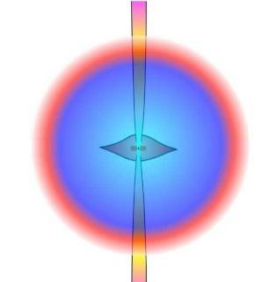


マイクロクェーサー の描像

- 1. 恒星ブラックホール
- 2. プラズマガスの降着円盤盤ととおはととととささ<
- 3. 亜光速のBHジェットく BHから?吹き出す>

ブラックホールと普通の星からなるブラックホール連星の想像図。ブラックホールの強い重力が伴星のガスを引きずり込んで、ブラックホールのまわりにガス円盤が形成されている。ブラックホール近傍からはしばしば、高温プラズマガスがジェットとして吹き出している。この図の差し渡しは100万km程度で、ブラックホールの大きさはその10万分の1程度。。





ガンマ線バース

ガンマ線バースト(gamma-ray burst)

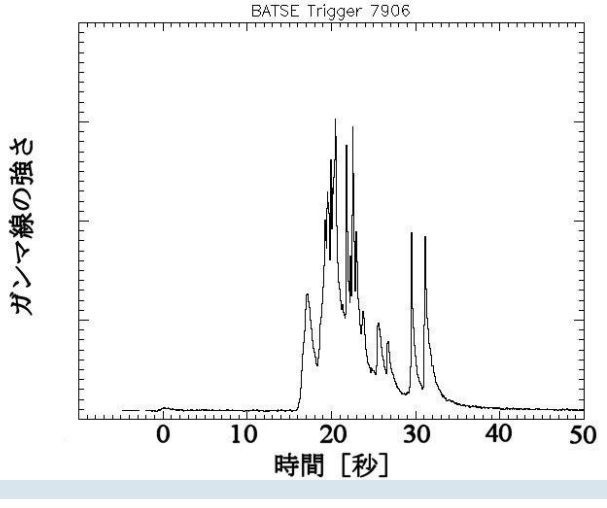
数十秒にわたり、強いガンマ線を放つ 宇宙最大の高エネルギー天体現象

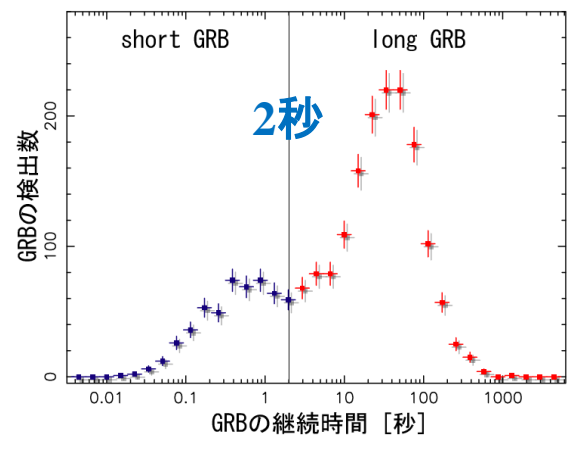
Short GRB/Long GRBの2種類

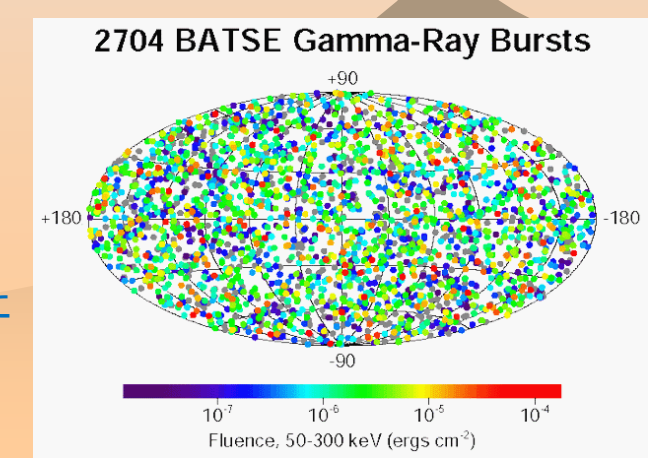
宇宙論的天体(1991年)

10⁴⁵Jを超えるエネルギー

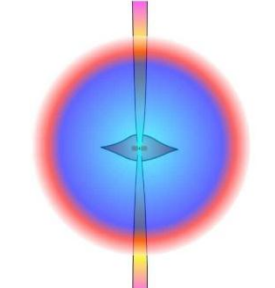
コンプトン衛星/ BATSEで検出した 数千例のGRB (NASA)。赤ほど明 るく青ほど暗いが、 どれも全天で一様に 分布している。















残光の発見(1997年) 可視光の追観測 ~100億光年

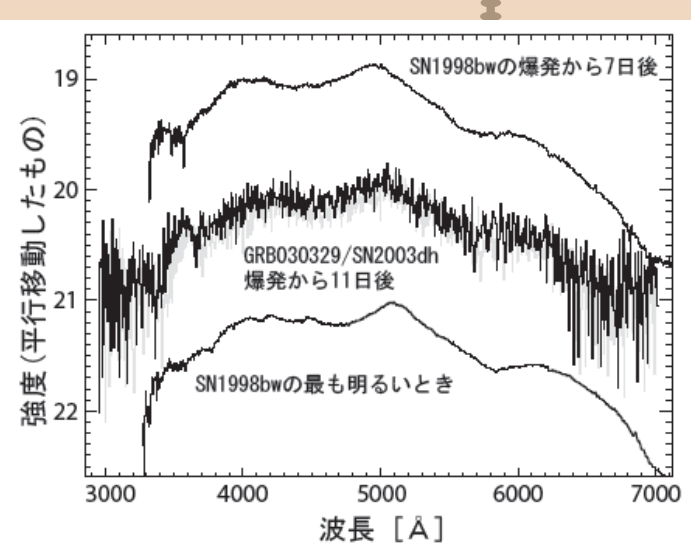
GRB970508は70億光年

BeppoSAX衛星がX線で捉えたオリオン座のガンマ線バーストGRB970228の残光(http:// heasarc.gsfc.nasa.gov/docs/objects/ grbs/ grb970228.html)。左は1997年2月28日のバースト時で、右は3月3日で随分と暗くなっている。

極超新星との関連(2003年)

GRB030329/ SN2003dh

SN2003dhとSN1998bwを比較したスペクトル。GRB030329の残光を連続観測している中で出現してきたので、GRB030329と超新星SN2003dhの関係が明白に示された。

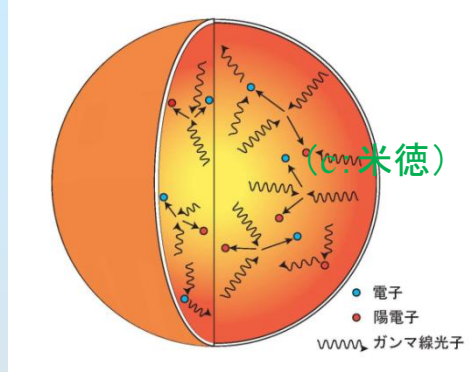




ガンマ線バースト

大量のガンマ線光子を狭い 領域に閉じ込めると、電子・ 陽電子対を作り出す。ガンマ 線は電子や陽電子に衝突し

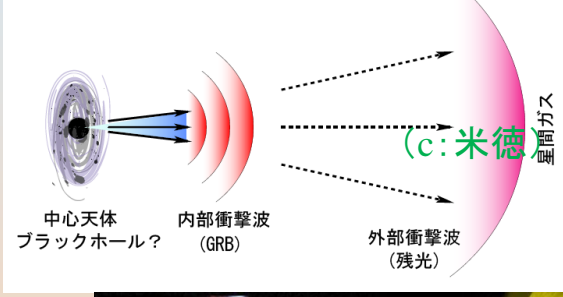
ない。



相対論的火の玉の膨張 (Rees&Meszaros 1992年) ファイアボールエンジン (Paczynski 1986年)

超高速の放射体ー相対論的火の玉ーがX線を出している。相対論的効果のために、観測者は早い時間変動をするガンマ線として検出する。

て散乱し、外部へ抜け出せ



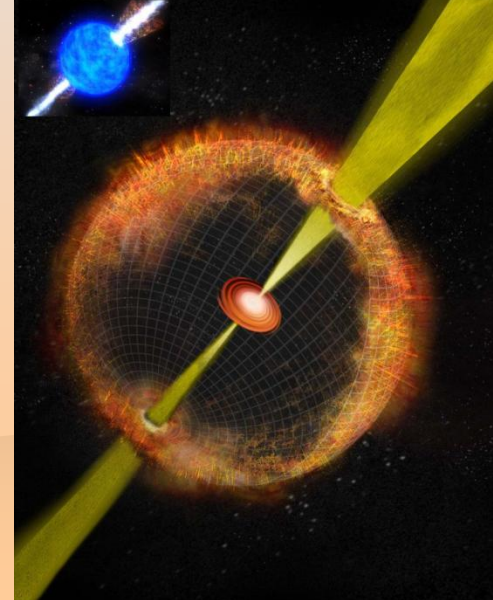
速度は光速の99.99%!!

大質量星の崩壊に伴い、ほぼ光速で膨張 するファイアボールが吹き出す

初期の輻射のエネルギー密度がバリオン のエネルギー密度のγ倍あれば、最終

で的なローレンツ因子もγとなる。

ブラックホール近傍でできたファイアボールが非球対称に膨張し、重力崩壊する星の外層を貫いて、光速の99.99%のジェットが吹き出している(NASA)。





ブラックホールジェットのまとめ

表 9.1 宇宙ジェットの類別

物理量	活動銀河ジェット	原始星ジェット	系内ジェット
サイズ	$pc \sim Mpc$	$0.1 \sim 1 \; \mathrm{pc}$	$100 \text{ AU} \sim 100 \text{ pc}$
速度	$\lesssim c$	$10 \sim 150 \text{ km/s}$	$0.26 \ c \sim 0.92 \ c \ (NS, BH)$
	. •		$3000 \sim 5000 \text{ km/s (WD)}$
年齢	~ 10 ⁶ 年	$\sim 10^4$ 年	~ 10 ³ 年
収束度	≲1°	$\sim 10^{\circ}$	≲1°
中心天体	?── 超大質量ブラックホール	原始星	コンパクト天体
(脱出速度)	∼ c	$\sim 400 \text{ km/s}$	$\sim c \text{ (NS, BH)}$
		·	$\sim 5000 \text{ km/s} (\text{WD})$
例	3C 273, M 87	L 1551, Orion A	SS 433, Sco X-1
	Cyg A, Cen A	AFGL 490	R Aqr, Cyg X-3
			1E 1740-2942







ブラックホールジェットのまとめ

▼ マイクロクェーサー

```
0.26c/1.04
SS433
                  >L_{\rm E} ep
                              cont/blob
1E1740.7-2942 ?
                        ee?
                                          0.26c/1.04
GRS 1915+105 \sim L_{\rm F} ee?
                              bloby
                                         0.92c/2.55
GRO J1655 -40 \sim L_{\rm F} ee?
                             bloby
                                          0.92c/2.55
XTE J1748 — 288
                   \sim L_{\rm F} ee? bloby
                                        > 0.92c/2.55
```

• クェーサー、活動銀河

3C 273

 $>L_{\rm E}$? ?

0.99c ?/10

M87

<<L_E ? ?

0.99c?/10

ガンマ線バースト



GRB030329/SN2003dh >> $L_{\rm E}$ ee? fireball 0.9999 190



放射圧加速ジェット

- ◆ 光度 L>L_E
- 成分 ep通常プラズマ vs ee対プラズマ
- 形態 continuous / periodic / intermittent
- 速度 mildly relativistic β =0.26、 γ =1.04 highly relativistic β =0.92、 γ =2.55 ultra relativistic β =0.99、 γ =10 extremely relativistic



 $\beta = 0.9999, \gamma = 100$



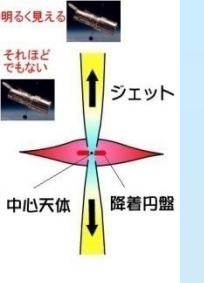
宇宙ジェットの加速機構



- ●エネルギー源
 - 重力エネルギー
 - 自転エネルギー (エルゴ圏)
- ☞加速・駆動方法
 - 高温ガスの圧力
 - -輻射(光)の圧力
 - -磁場の力

●輻射力加速にせ よ磁気力加速に せよ、光速の9割 ぐらまでなら可能 だが、γが10とか 100の超相対論的 ジェットはまだ実 現できていない。





ブラックホールジェット B 伏 は 毎 7日 * ******* ニ (ま ケ)



胃袋は無限だが喉元は有限

BHの胃袋は底なし BHの喉元は有限 吸い込みきれないものを 吐き出す→ジェット

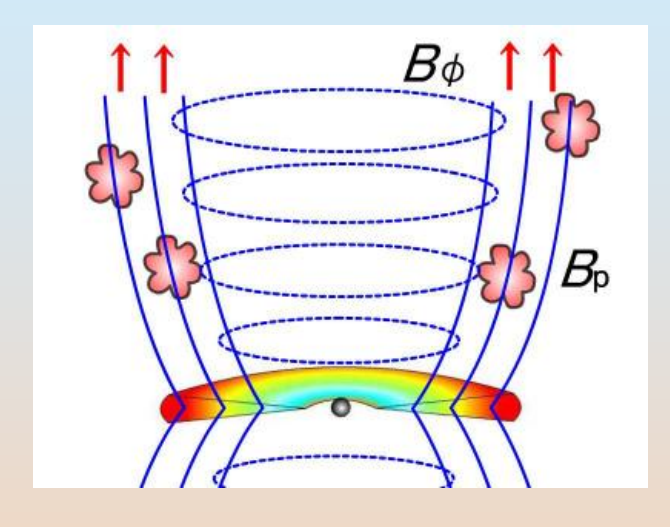
- 申心の天体から、天体をはさんで双方向に吹き出す細く絞られたプラズマの流れを、宇宙ジェット(astrophysical jet)と呼ぶ。
- 宇宙ジェットや降着円盤は、重力天体の周辺で生じる動的な段階に伴って現れる普遍的な現象だと思われるようになってきている。

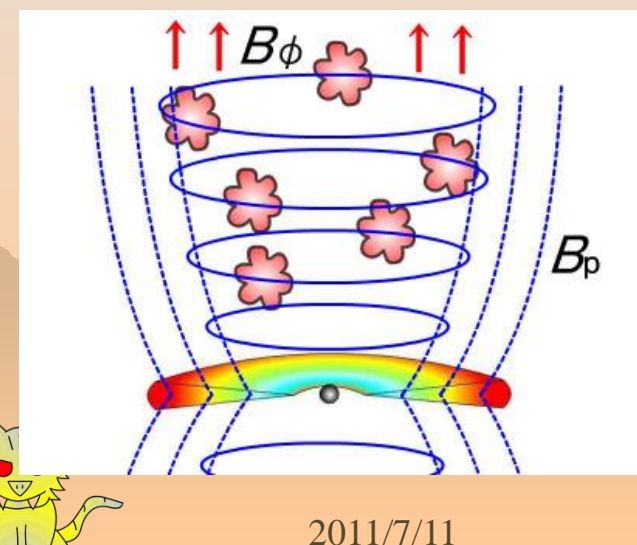




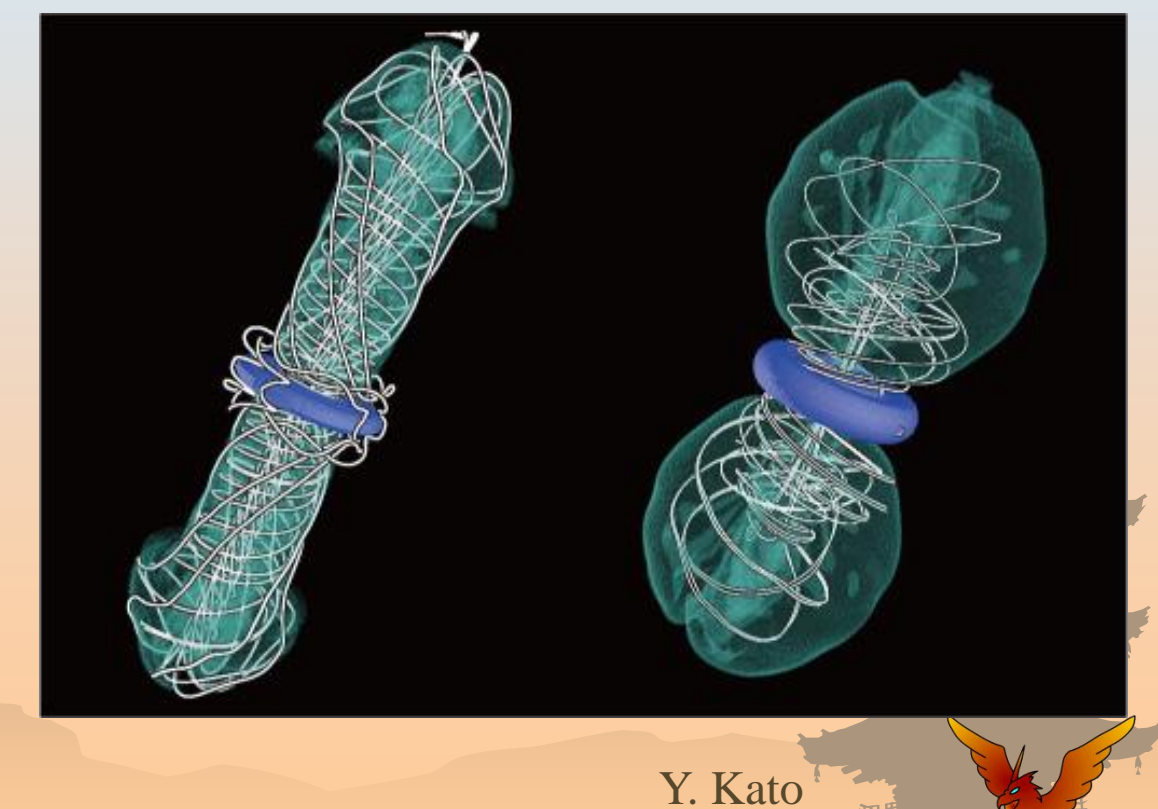








● 磁場の力で駆動する

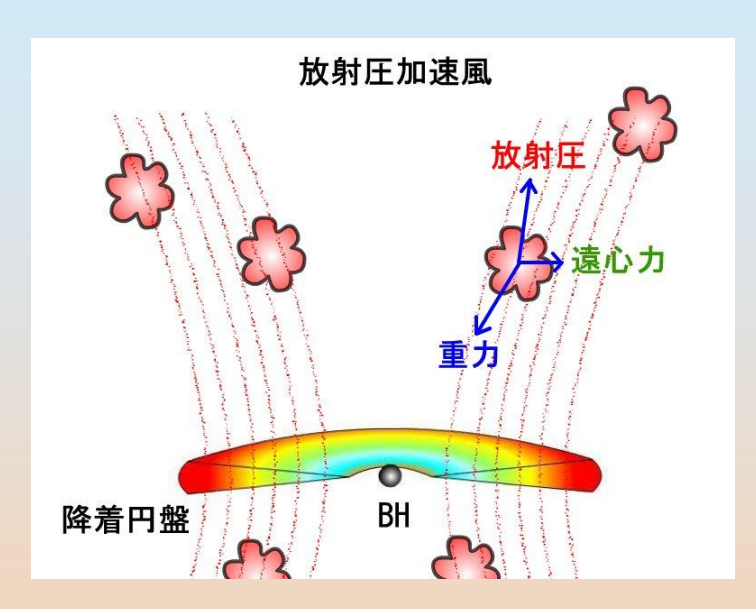


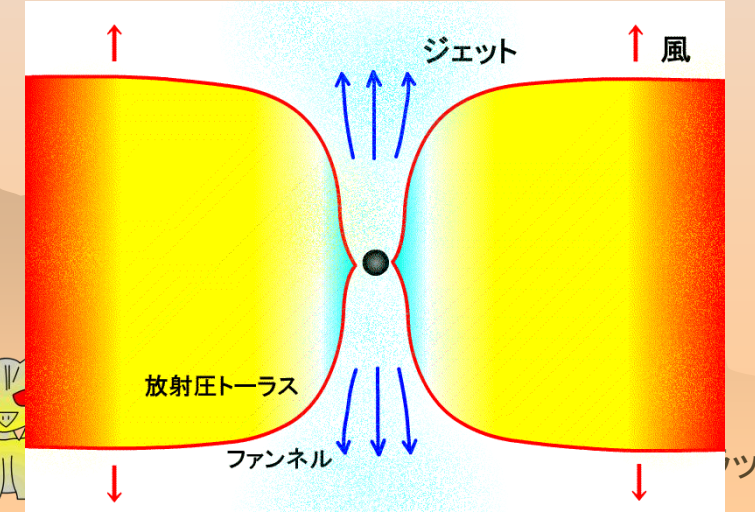
35



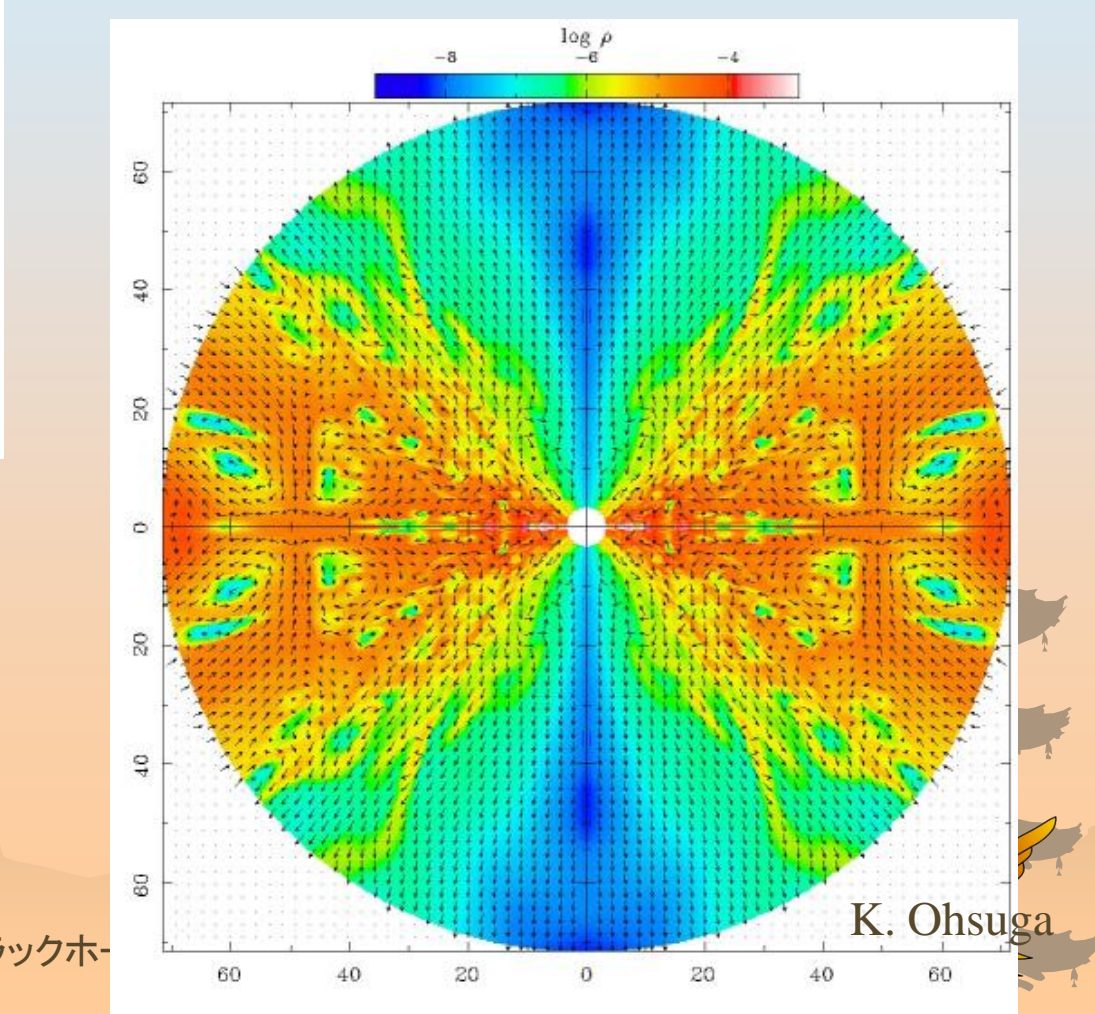


ジェットの作り方2 放射





● 光の圧力で駆動する



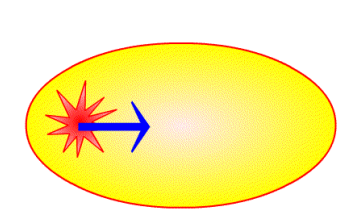






- 相対論的風(アウトフロー)
 - アウトフローが光学的に厚い
 - 見かけ上の"光球(photosphere)"
- 光の伝播への相対論的効果
 - 光行差
 - ドップラー効果
 - _ 重力赤方偏移
 - 光線の彎曲









ブラック

ドップラーブースト。亜光速で吹き出すプラズマジェットを正面から観測すると、非常に明るく観測される。



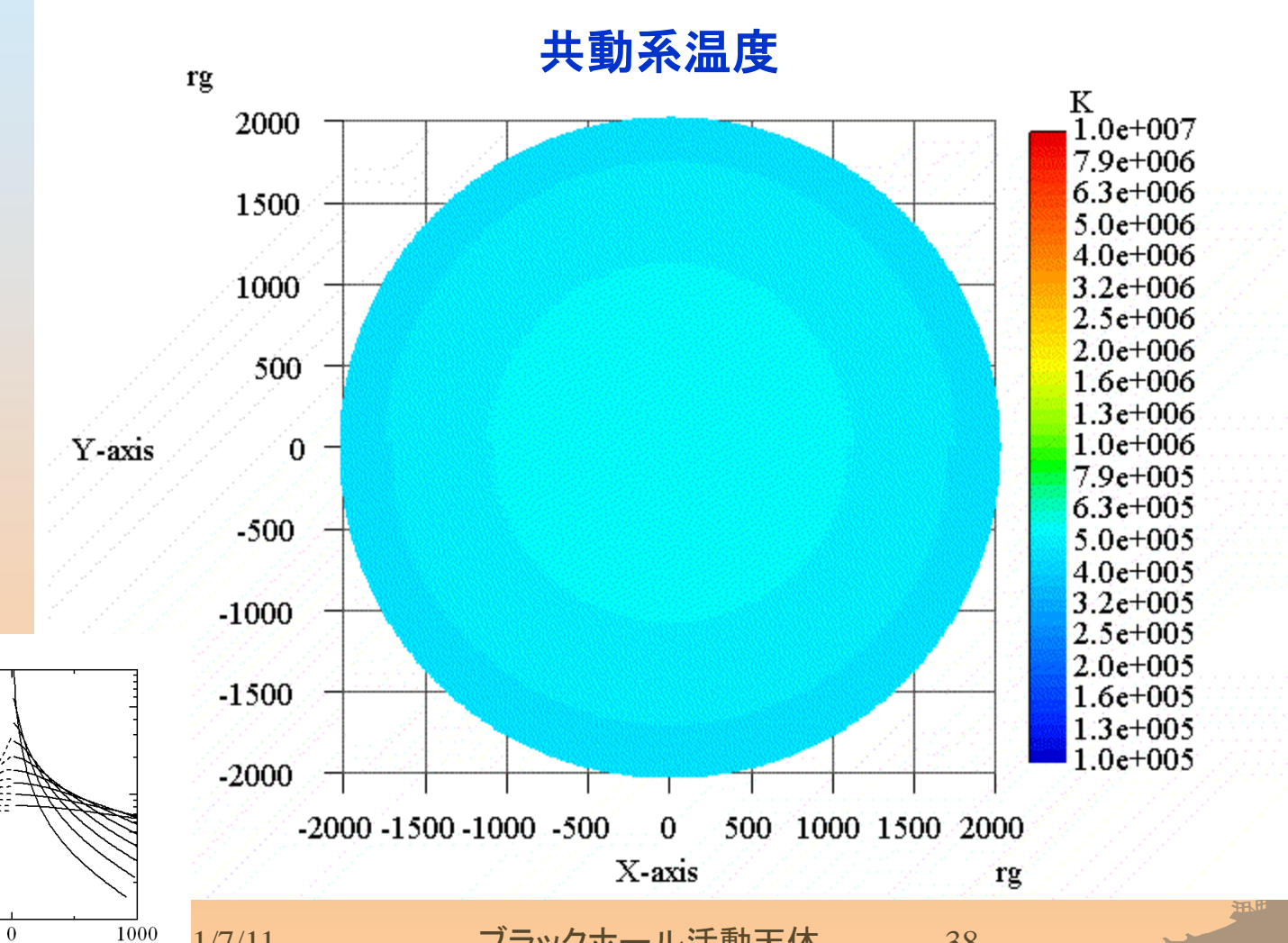
 10^{7}

 T_{10^6}

 10^{5} -1000

ジェットが加速すると! ジェット共動系での見え方







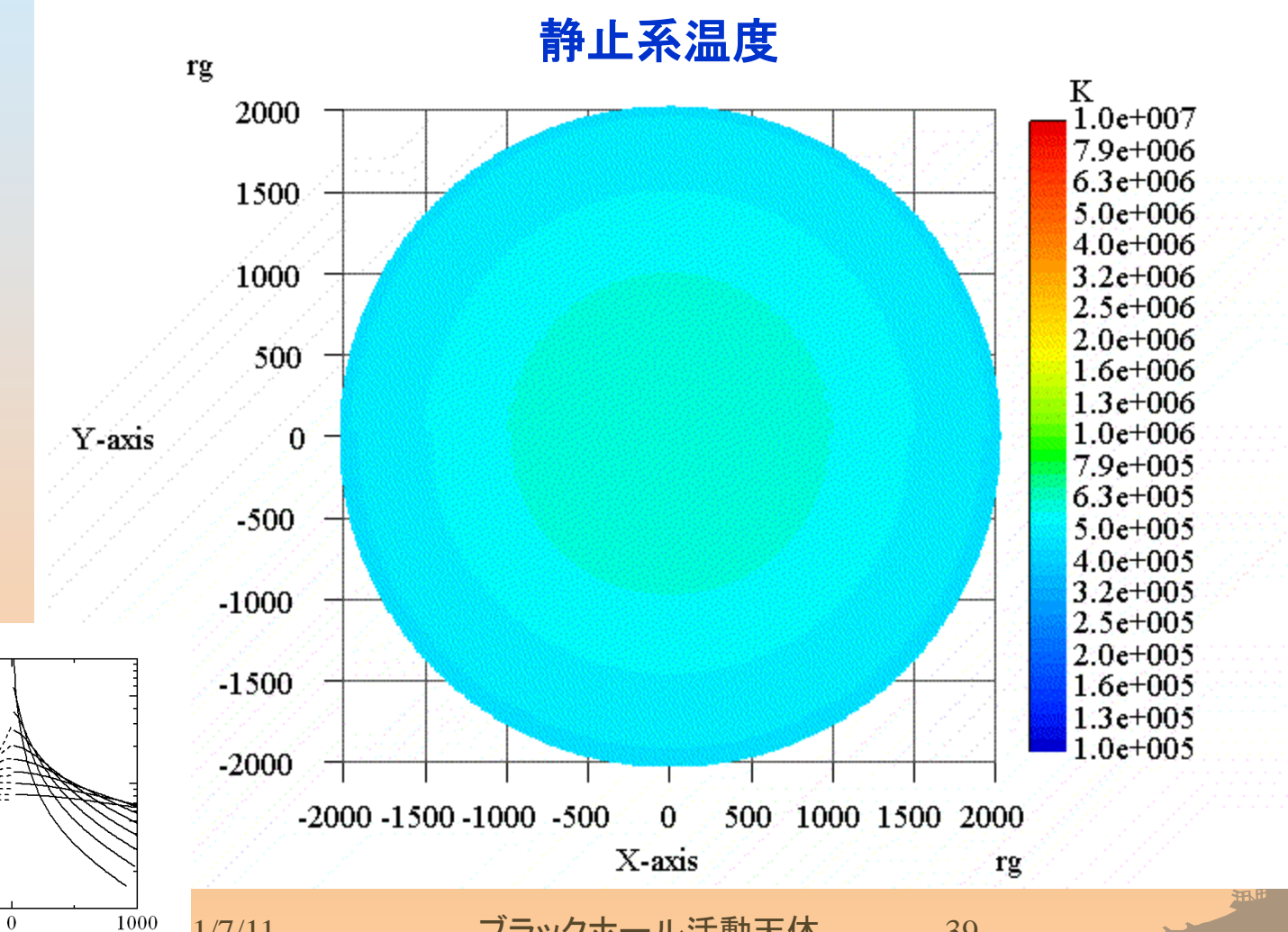
 10^{7}

 T_{10^6}

 10^{5} -1000









5. 影響 関連する天体現象

輻射場が重要な相対論的天体現象全般

- ブラックホール降着流:光子捕捉
- 相対論的天体風: 超相対論的ジェット
- ゅ ガンマ線バースト:ファイアボール
- 初期宇宙:最初の降着円盤、最初のジェット

